

شبیه‌سازی سیلاب‌های رودخانه مِرگ با استفاده از مدل هیدرولیکی HEC_RAS

(مطالعه موردي: حدفاصل بین روستای دار امرود علیا تا چالابه سفلی، حوضه آبریز ماهیدشت، استان کرمانشاه)

رویا پناهی^{*}؛ میترا مشعشعی^۲، سید میثم مشعشعی^۳

۱-دانشکده علوم زمین، دانشگاه شهید بهشتی، تهران، ایران

۲-گروه سنجش از دور، دانشکده عمران و نقشه‌برداری، دانشگاه کردستان، سنندج، ایران

۳-شرکت مهندسین مشاور آب پردازان نو اندیش، سنندج، ایران

(پژوهشی)

پذیرش مقاله: ۱۴۰۰/۱/۲۶ تأیید نهایی مقاله: ۱۴۰۰/۷/۱۲

چکیده

افزایش فشار بر سیستم‌های رودخانه‌ای باعث افزایش احتمال وقوع سیلاب و خسارت جانی و مالی شده است و این مخاطره به عنوان یک نگرانی جهانی مطرح بوده است. تعیین میزان گستردگی این مخاطره اولین گام ضروری برای کنترل و کاهش احتمال خطر سیل با استفاده از ابزارهای مناسب می‌باشد. در این پژوهش به پهنه‌بندی سیلاب رودخانه مِرگ (حوضه آبریز ماهیدشت) در استان کرمانشاه پرداخته شده است. بنابراین جهت شبیه‌سازی سیلاب از مدل عددی HEC_RAS استفاده گردید و از طریق الحاقی GIS در محیط HEC-GEORAS پردازش داده‌های ژئومتری انجام شد. جهت محاسبه دبی برای دوره بازگشتهای ۲۵، ۵۰ و ۱۰۰ ساله، حوضه آبریز منطقه مورد مطالعه به داخل محیط نرم‌افزار HEC-HMS وارد شد و مشخصات فیزیوگرافی حوضه آبریز از قبیل: مساحت، طول آبراهه اصلی، شماره منحنی خاک (CN)، زمان تمرکز، زمان تاخیر وارد گردید. سپس بعد از تحلیل، نتایج خروجی حداکثر دبی سیلابی با دوره بازگشتهای مختلف محاسبه شد. با توجه به الگوی رودخانه، منطقه به چهار بازه مختلف تقسیم‌بندی شد که ضریب زبری مانینگ با استفاده از روش کوان برای هر بخش جداگانه محاسبه گردید. نتایج حاصل از مطالعات نشان می‌دهد که پهنه سیلاب در دور بازگشت ۲۵ ساله ۳/۲، در دوره بازگشت ۵۰ ساله ۳/۴ و در دوره بازگشت ۱۰۰ ساله ۳/۵ کیلومتر مربع از اراضی حاشیه رودخانه مِرگ را در بر گرفته‌اند. در بازه سوم به دلیل افزایش میزان ضریب خمیدگی و کاهش میزان شیب پهنه سیلاب از سایر بازه‌ها گستردگی‌تر شده است و اکثر مراکز روستایی حاشیه رودخانه مِرگ در بازه سوم تحت تاثیر مخاطره سیلاب قرار گرفته‌اند.

واژه‌های کلیدی: پهنه بندی سیلاب، رودخانه مِرگ، ماهیدشت، HEC_RAS

تقریباً همه استان‌های شمالی ایران از قبیل: گرگان، بندرترکمن، آزاد شهر، آق‌قله، گنبد کاووس و مینودشت اتفاق افتاده است دفتر بشر دوستانه سازمان ملل متعدد اعلام کرده است که در ایران در اثر بارش‌های سنگین مارس و آوریل ۲۰۱۹ حدود ۱۴۰ رودخانه طغیان کرده‌اند و استان‌های گلستان، ایلام، لرستان، خوزستان (همه استان‌های جنوب ایران) به شدت خسارت دیده‌اند. براساس گزارشات فدراسیون بین‌المللی جوامع صلیب سرخ و هلال احمر، ۳۸۰۰ شهر و روستا تحت تاثیر سیل قرار گرفته‌اند مناطق کشاورزی به شدت آسیب دیده، و بیش از ۱ میلیون هکتار از اراضی زراعی تحت پوشش سیلاب قرار گرفته‌اند با در نظر گرفتن خسارات‌ها، این یکی از بزرگترین فاجعه طبیعی طی ۲۰ سال گذشته در ایران بوده است (Shokri et al, 2020). و علاوه بر آن در حوضه آبریز مرگ در اثر سیلاب‌های فروردین ۱۳۹۸ حدود ۱۸۰۲ هکتار از اراضی کشاورزی حاشیه رودخانه و نیز ۳۰ واحد مسکونی در این سیل دچار تخریب شدند. (مرکز مطالعات و برنامه‌ریزی شهر کرمانشاه، ۱۳۹۸) و با توجه به اینکه جمعیت جهان تا سال ۲۰۵۰ به بیش از دو برابر خواهد رسید این نگرانی ناشی از تجاوز به حریم رودخانه‌ها و افزایش خسارت‌ها بیشتر شده است. مطالعات متعددی در مورد روش‌های ارزیابی خطر سیلاب از ۲۰۰۰ تا ۲۰۲۰ انجام شده است که مبتنی بر ۴ روش اصلی می‌باشد شامل: (الف) روش‌های آماری: که ارزیابی خطر سیل مستلزم ثبت سیلاب‌های تاریخی طولانی مدت است و تصور می‌شود که گذشته کلیدی برای آینده می‌باشد (Black et al, 2002). (ب) سیستم تصمیم‌گیری چند معیاره: یک روش تحلیل تصمیم‌گیری ترکیبی از مسائل را بیان می‌کند که اولین بار توسط ووگ (۱۹۸۳) ارائه گردید (ج) سیستم اطلاعات جغرافیایی و سنجش از دور: اولین بار مجیا ناوارو و

مقدمه

مخاطرات طبیعی به‌طور فزاینده‌ای به اجتماعات آسیب می‌رساند و می‌تواند مانع از توسعه پایدار یک جامعه شود. مدیریت پایدار مخاطرات طبیعی که پاسخی جامع به مخاطرات را ممکن می‌سازد که در حال حاضر یکی از مهم‌ترین چالش‌های بشر بوده است (Geravand et al, 2020). از میان تمام مخاطرات سیل شایع‌ترین مخاطره طبیعی است که تعداد، شدت و هزینه خسارت حاصل از آن در سرتاسر جهان رو به افزایش است سیل به عنوان یک پدیده طبیعی که متجربه زیر آب رفتن موقت یک زمین می‌شود تعریف می‌شود. بارش شدید، ذوب ناگهانی برف، دخالت‌های انسان در محیط طبیعی از قبیل (جنگل‌زدایی، شهرنشینی، زهکشی ضعیف شهری) از جمله علل جاری شدن سیل می‌باشد (European Commission, 2007; Mishra et al, 2020). در قرن بیست و یک، خطر سیلاب به دلیل تغییر آب و هوا و گرم شدن کره زمین توجه بین‌المللی را به خود جلب کرده است. خطر طغیان سیل در چندین نقطه از جهان تشدید شده است و خسارات زیادی به دارایی و محیط زیست وارد کرده است. در فاصله سال‌های ۱۹۶۰ تا ۲۰۱۴، وقوع سیلاب ۷/۳۴ از کل بلایای طبیعی ثبت شده در سراسر جهان (۱۷ سیل در هر سال) بوده است (Petit-Boix et al, 2017; Zelenakova et al, 2019). ایران با توجه به وسعت زیاد، تغییرپذیری آب و هوا و تغییرات فضایی پرآگندگی بارش در اکثر حوضه‌ها، هر ساله با سیل عظیم روبرو شده است طی دهه‌های گذشته، خسارات اقتصادی ناشی از سیلاب به ۱۷۰۵ هزار دلار رسیده است (Jahangir et al, 2019). موج بارش‌های سنگین که از ۱۹ مارس ۲۰۱۹ در ایران شروع شد و تا آوریل ادامه داشت که در نتیجه این بارش‌ها باعث جاری شدن سیلاب در ۳۱ استان ایران شد سیلاب‌ها

را نشان می‌دهند (Nkwunonwo et al, 2016). در این مطالعه به بررسی مخاطره سیلاب رودخانه مِرگ پرداخته می‌شود حوضه مورد پژوهش به دلایلی چون شیب زیاد در بالا دست، فقر پوشش گیاهی، تخریب و از بین بردن مرتع و جنگل‌های بلوط دارای پتانسیل سیل خیزی است و با توجه به اینکه اکثر مراکز روستایی و بسیاری از اراضی کشاورزی مستعد از لحاظ فرسایش در امتداد رودخانه مِرگ قرار گرفته‌اند که لزوم شناسایی پنهنه‌های سیل خیز احساس می‌شود.

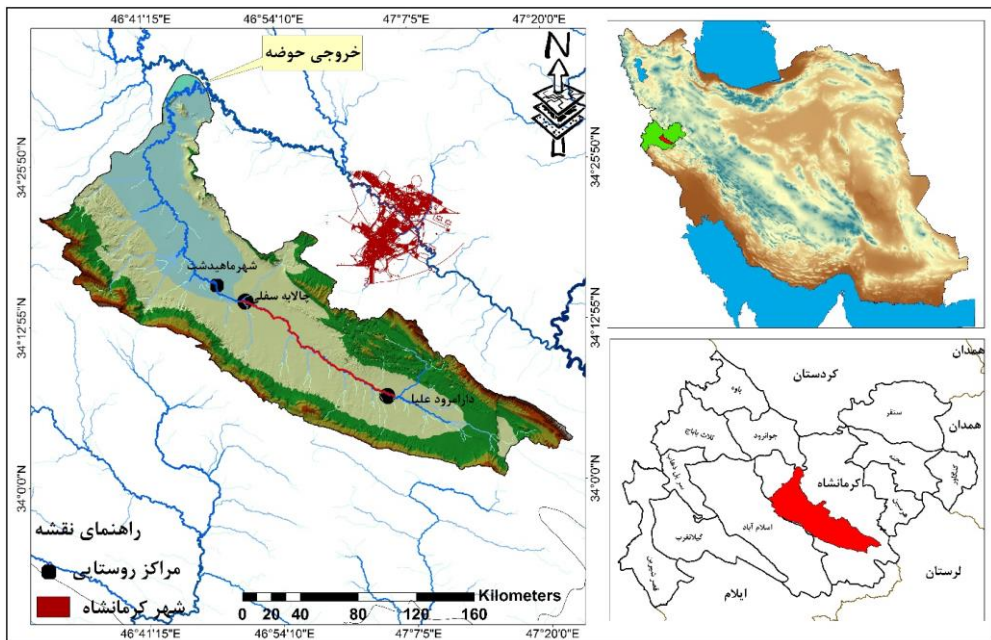
منطقه مورد مطالعه

محدوده مورد مطالعه حوضه آبریز مِرگ با مساحت ۱۴۶۳ کیلومتر مربع در غرب ایران و در محدوده سیاسی استان کرمانشاه (در جنوب غرب کرمانشاه) قرار گرفته است. این حوضه در مختصات $32^{\circ} 46^{\prime}$ تا $34^{\circ} 1^{\prime}$ ، $24^{\circ} 47^{\prime}$ طول شرقی و $34^{\circ} 1^{\prime}$ تا $34^{\circ} 0^{\prime}$ عرض شمالی واقع شده است حوضه آبریز مِرگ از زیر حوضه‌های حوضه آبریز قره‌سو و از مهم‌ترین زیر حوضه‌های کرخه بزرگ بوده است. حوضه مِرگ حوضه‌ای نسبتاً کوهستانی می‌باشد ارتفاع متوسط حوضه ۱۵۲۴ متر از سطح دریا است مرتفع‌ترین نقطه آن ۲۷۶۰ متر و پست‌ترین نقطه آن ۱۳۱۵ متر از سطح دریا ارتفاع دارد رودخانه مِرگ (باشه مورد مطالعه) با طول ۴۰ کیلومتر، آبراهه اصلی این واحد هیدرولوژیک می‌باشد از نظر زمین‌شناسی حوضه آبریز مِرگ، ارتفاعات آن را سنگ‌های آهکی شهبازان، کشکان و تله زنگ، و محدود داشت از رسوبات جوان کواترنر تشکیل شده است. متوسط بارش حوضه در طی دوره آماری ۲۵ ساله ۴۰۸ میلی‌متر و متوسط دمای آن ۱۴ درجه سانتی‌گراد می‌باشد. رودخانه مِرگ از سراب سر فیروزآباد کرمانشاه در جنوب غربی ماهیدشت سرچشم می‌گیرد و در شمال شرقی روستای میرعزیزی به

همکاران (۱۹۹۴) به استفاده از GIS در ارزیابی خطر سیل را به کار گرفتند (Iyu et al, 2019). و در سپس شوومان و همکاران (۲۰۰۰) به استفاده از سیستم اطلاعات جغرافیایی برای مفهومی کردن مدل‌سازی بارش رواناب به مطالعه پرداخته‌اند. (ج) تجزیه و تحلیل مبتنی بر سناریو^۲: این روش شامل استفاده از داده‌های توپوگرافی دقیق، که یک روش کمی بوده که داده‌های مختلف را با هم ترکیب می‌کند و فراوانی در مورد احتمال خطر سیل را نشان می‌دهد این روش برای پیش‌بینی احتمال خطر سیلاب برای مناطق کوچک استفاده می‌شود (Iyu et al, 2019). در این پژوهش نیز بیشترین تاکید بر روی مدل‌های کمی بوده است که بیشترین کاربرد را دارد این مدل‌ها عبارتند از مدل‌های یک بعدی، دو بعدی، و سه بعدی هستند. مدل‌های سیل یک بعدی مانند (ISIS، MIKE 11، HEC-RAS) که کanal و سیلاب داشت را به عنوان یک سری مقاطع عمود بر جهت جریان نشان می‌دهند و معادلات آب کanal را به صورت یک بعدی حل می‌کنند مدل‌های یک بعدی از بین سایر مدل‌های سیلاب ساده‌تر و از نظر محاسباتی کارآمدتر هستند (Bates et al, 2000; Parahi et al, 2018; Zelenakova et al, 2019). مدل‌های سیلاب دو بعدی مانند SOBEK, TUTFLOW, HEC-RAS 2D (MIKE 21, Ezzine et al, 2020) با استفاده از معادلات عددی مناسب جریان را در کanal رودخانه به صورت دو بعدی حل می‌کنند پیشرفت در فناوری سنجش از دور به ویژه از طریق استفاده از داده‌های با قدرت تفکیک خوب مانند (SAR و LiDAR) و بهبود ظرفیت محاسباتی، هر دو باعث افزایش محبوبیت مدل‌های دو بعدی شده‌اند (Abderrezak et al, 2009). مدل‌های سیلاب سه بعدی حل می‌کنند و جریان سیلاب را کاملاً سه بعدی در نظر می‌گیرند و به صورت پویا، فیزیک جریان آب

مرکز آمار ایران جمعیت بخش ماهیدشت واقع در شهرستان کرمانشاه در سال ۱۳۹۵ برابر با ۱۸,۶۲۸ نفر بوده است (شکل ۱).

رودخانه قره سو می‌ریزد این منطقه با زمین‌های حاصلخیز کشاورزی و استفاده از آب‌های زیرزمینی موقعیت ممتازی را از نظر اقتصادی در غرب ایران به وجود آورده است بر این اساس شغل اصلی مردم ناحیه کشاورزی و دامداری است. بنابر سرشماری



شکل ۱: موقعیت حوضه آبریز مرگ و محدوده مطالعاتی حوضه آبریز ماهیدشت در استان و کشور

استفاده گردید در اولین مرحله در HEC-Geo RAS لایه خط مرکزی جریان تهیه گردید. از این لایه به منظور تعیین محدوده قرارگیری مقاطع، نمایش موقعیت رودخانه در مدل HEC-RAS و تعریف جهت جریان در رودخانه استفاده گردید. در ادامه جهت جداسازی مجرای اصلی رودخانه از سواحل آن، لایه سواحل رودخانه^۴ ترسیم و در ادامه لایه ابعاد مسیر جریان تهیه گردید. از این لایه به منظور تعیین ابعاد مسیر هیدرولیکی جریان در مجرای اصلی جریان و ساحل چپ و راست آن در ناحیه سیلاب‌گیر استفاده شده است. کلید اصلی شبیه‌سازی سیلاب، مقاطع عرضی می‌باشند، مقاطع در جهت جریان، عمود بر مسیر جریان از ساحل سمت چپ به ساحل سمت راست کشیده شد.

مواد و روش‌ها

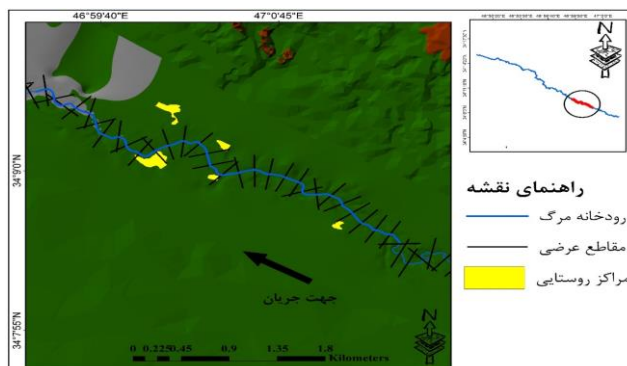
به منظور انجام مطالعات تعیین حدود بستر و تهیه مدل رقومی ارتفاع منطقه، از نقشه ۱:۱۰۰۰ (شرکت مهندسی مشاور آب پردازان نوآندیش) که محدوده رودخانه و بخشی از دشت سیلابی را پوشش می‌دهد استفاده شده است ترسیم نقشه‌ها و تحلیل داده‌ها در محیط نرم‌افزار GIS و تهیه مدل هیدرولیکی در نرم‌افزار HEC-RAS (ورژن 5.0.7) ایجاد شده است. نرم‌افزار HEC-RAS در مدیریت دشت سیلابی و برآورد خسارت سیلاب به طور گستردۀ مورد استفاده محققان قرار می‌گیرد؛ ابتدا در محیط GIS با استفاده از ابزار HEC-Geo RAS برای تهیه داده‌های هندسی و محاسبات مسیر رودخانه، رسم مقاطع و انتقال آنها به HEC-RAS

گیاهی داشت که جهت محاسبه ضریب زبری مانینگ از روش کوان (۱۹۵۶) استفاده شده است (جدول ۱). در مرحله بعد جهت تعیین دبی در دوره بازگشت‌های مختلف مقدار آن برای هر یک از زیر حوضه‌های مرگ با استفاده از نرم‌افزار HEC-HMS محاسبه شد (جدول ۵). در تحلیل هیدرولیکی انجام گرفته از بازه مورد مطالعه، شرایط مرزی بالادست و پائین دست رودخانه عمق نرمال منظور گردیده است و برای محاسبه پروفیل‌های سطح آب از حالت جریان دائمی و رژیم فوق بحرانی استفاده گردید. و نتایج حاصل HEC-RAS به محیط Civil3D و سپس به محیط GIS منتقل شده است و پهنه سیلان در طول رودخانه مرگ براساس دوره بازگشت‌های مختلف محاسبه گردید.

تمام اطلاعات ژئومتری رودخانه با HEC-Geo RA کمک لایه RAS (با فعال شدن editor) تهیه می‌شود. لایه‌های RAS ویژگی‌های ژئومتری زمینی را با رقومی کردن لایه‌های مختلف و سپس بازیابی دوباره اطلاعات جمع‌بندی می‌کند. در ادامه اطلاعات به محیط HEC-RAS منتقل شدند. یکی از پارامترها در مدل‌سازی، ضریب زبری مانینگ است که بر روی سرعت جریان و پهنه گسترش سیلان تاثیرگذار است. مقدار ضریب زبری مانینگ به عواملی از قبیل: زبری بستر کanal، درجه همواری در سطح بستر، پوشش گیاهی، شکل مسیر، وجود موانع در مسیر جریان، دبی جریان بستگی دارد (COON, 1956). با توجه به بازدیدهای محلی انجام گرفته، بستر رودخانه مرگ در طول مسیر خود تفاوت‌هایی از نظر جنس بستر و پوشش

جدول ۱: مقدار ضریب زبری مانینگ در مقاطع رودخانه مرگ

ساحل راست	بستر	ساحل چپ	مقاطع	شماره بازه
۰/۰۴۵	۰/۰۳۵	۰/۰۴۵	۵۶-۱	۱
۰/۰۵	۰/۰۴۵	۰/۰۵	۱۱۲-۵۶	۲
۰/۰۵۵	۰/۰۴۵	۰/۰۵۵	۱۶۵-۱۱۲	۳
۰/۰۵	۰/۰۴۵	۰/۰۵	۲۶۶-۱۶۵	۴



شکل ۲: بخشی از TIN رودخانه مرگ و مقاطع عرضی در محیط GIS

مسلح تهیه شد و سپس براساس موقعیت حوضه نسبت به شناسایی ایستگاه‌های باران‌سنگی داخل و اطراف حوضه اقدام شد. با استفاده از نقشه‌های رقومی به مقیاس ۱:۲۵۰۰۰ مرز هیدرولوژیکی

محاسبه دبی در نرم‌افزار HEC-HMS جهت آماده کردن اطلاعات ورودی به مدل HEC-HMS، ابتدا استفاده از نقشه توپوگرافی حوضه در مقیاس ۱:۲۵۰۰۰ سازمان جغرافیایی نیروهای

بر حسب نوع کاربری اراضی و خصوصیات خاک تعیین می‌شود. برای تهیه لایه شماره منحنی خاک نیاز به داده‌های نقشه گروه‌های هیدرولوژیک خاک، کاربری اراضی، شبیه منطقه در سطح حوضه آبریز می‌باشد. نقشه گروه‌های هیدرولوژیک خاک از داده‌های سازمان منابع طبیعی استان کرمانشاه استفاده شده است. و نقشه کاربری اراضی با کمک تصاویر گوگل ارث در محیط GIS تهیه شده است. با توجه به نقشه گروه هیدرولوژیکی خاک، حوضه آبریز مِرگ دارای چهار گروه خاک (A, B, C, D) می‌باشد و انواع کاربری‌ها شامل تیپ‌های مرتعی، تیپ‌های جنگلی، زراعت آبی و دیم، باغات در قلمرو مطالعاتی ملاحظه شده است. در این مطالعه مقادیر CN با تلفیق نقشه‌های کاربری اراضی و گروه‌های هیدرولوژیکی خاک در محیط GIS محاسبه گردید و سپس با تعیین ضریب رواناب حوضه آبریز براساس نوع پوشش سطحی حوضه و شبیه اراضی در هر بخش تعیین شده است در میزان (CN) ضریب شد و (CN) نهایی برای تمامی زیر حوضه‌ها محاسبه گردید نقشه شماره (۳، ۴، ۵، ۶) کاربری‌های اراضی، شبیه، گروه‌های هیدرولوژیک و مقدار CN حوضه مطالعاتی را نشان می‌دهد (شکل ۷). علاوه بر این، جهت تبدیل بارش‌های مازاد به هیدرولوژیکی روش هیدرولوژیکی حوضه از روش، SCS روابط ۳ و ۴ را برای محاسبه زمان رسیدن به دبی اوج هیدرولوژیکی پیشنهاد داده است (علیزاده، ۱۳۸۸).

(رابطه ۳)

$$t_{lag} = \frac{L^{0.8} (S+1)^{0.7}}{1900y^{0.5}} \Rightarrow T_c = 1.67 t_{lag}$$

حوضه آبریز رودخانه مِرگ تعیین و شبکه آبراهه‌های آن استخراج گردید که در مجموع حوضه مورد مطالعه به هفت زیر حوضه تقسیم‌بندی شد تمامی محاسبات در نرم‌افزار GIS محاسبه گردید. شکل (۸) شماتیک محیط نرم‌افزار HEC-HMS جهت برآورده حداکثر دبی سیلابی با دوره برگشت مختلف برای هر یک از زیر حوضه‌ها را نشان می‌دهد. در این نرم‌افزار جهت تحلیل و ایجاد هیدرولوژیکی واحد برای هر یک از دوره بازگشت‌های مذکور ابتدا با وارد کردن حوضه آبریز منطقه مورد مطالعه (رودخانه مِرگ) به داخل محیط نرم‌افزار HEC-HMS و سپس مشخصات فیزیوگرافی حوضه آبریز (مساحت، طول آبراهه اصلی، CN، زمان تمرکز، زمان تاخیر) وارد گردید. بعد از تحلیل، نتایج خروجی حداکثر دبی سیلابی با دوره بازگشت‌های مختلف برای هر یک از زیر حوضه‌های حوضه آبریز مورد مطالعه محاسبه شده است.

تهیه اطلاعات مدل در نرم‌افزار HEC-HMS

به طور کلی در تهیه فایل ورودی دو سری داده برای مدل می‌باشد تهیه شود که عبارتنداز:

الف) مدل حوضه^۵: در این روش جهت برآورده میزان SCS curve دبی، از مدل‌سازی نفوذ با روش number استفاده گردید و مدل‌سازی بارش به رواناب نیز با روش (SCS unit hydrograph) انجام شده است برای محاسبه مقادیر نفوذ در روش SCS-CN، میزان تلفات با استفاده از روابط ۱ و ۲ تخمین زده می‌شود:

(رابطه ۱)

$$Ia = 0.2 * S$$

(S) نگهداشت آب در سطح حوضه

(رابطه ۲)

$$S = \frac{25400}{CN} - 25$$

شماره منحنی خاک (CN)

این پارامتر که بیانگر خصوصیات نفوذپذیری خاک (CN) حوضه می‌باشد مقادیر شماره منحنی خاک (CN)

وسیله نرم‌افزار آماری Hyfrantplus محاسبه شده است. این نرم‌افزار بسته به نوع بارش (۲۴ ساعته یا سالیانه) آمار بارش هر ایستگاه را می‌گیرد و با توجه به تجزیه و تحلیل‌های آماری، بهترین توزیع بارش (نرمال- لوگ‌نرمال- پیرسون- پیرسون تیپ ۳- گاما- GEV) را توسط معیار آکاییک (معیار برتر) نشان می‌دهد. شایان ذکر است معیار آکاییک (معیار برتر) تمامی توزیع آماری بارش را با هم مقایسه می‌کند و در واقع معیاری که آکاییک کمتری داشته باشد را توزیع برتر می‌داند. جدول ۲ مقدار حداکثر بارش ۲۴ ساعته با دوره بازگشت‌های مختلف بر سطح حوضه مورد مطالعه با توزیع آماری برتر (توزیع گامبل) را نشان می‌دهد. همچنین (شکل ۳) نمودار توزیع آماری گامبل را براساس احتمال وقوع بارش در مقابل حداکثر بارش (میلی‌متر) را نشان می‌دهد. نتایج وارد نرم‌افزار HEC-HMS گردید و با توجه به ویژگی‌های فیزیوگرافی حوضه دبی در دوره بازگشت‌های مختلف برای تمامی زیر حوضه‌ها محاسبه گردید.

(s) نگهداشت آب در سطح حوضه، (L) طول آبراهه اصلی بر حسب فوت، (Y) شیب آبراهه به درصد می- باشد؛

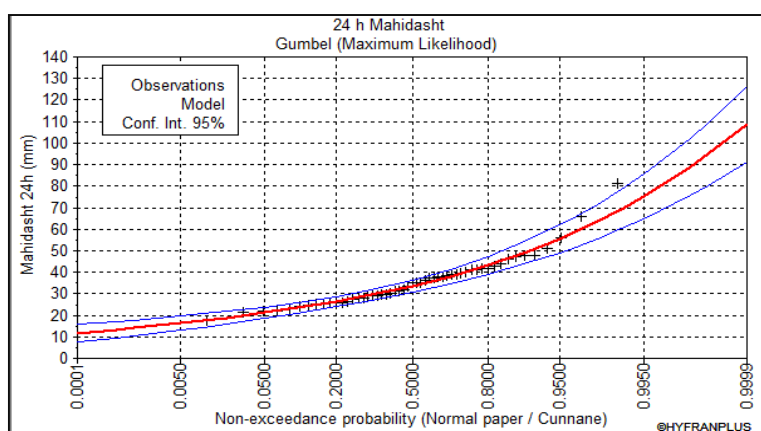
$$S = \frac{1000}{CN} * 100$$

$$Y = \frac{\text{اختلافارتفاع}}{\text{طولآبراهه اصلی}} * 100$$

ب) مدل هواشناسی حوضه آبریز: یکی از پارامترهای مهم و شاخص بارندگی بارش‌های حداکثر ۲۴ ساعته می‌باشد. زیرا بخش عمده بارندگی قابل توجه به وقوع پیوسته در یک دوره زمانی نسبتاً محدود در هنگام نزول به رواناب تبدیل می‌گردد که همین امر می‌تواند منشأ برآوردهای قابل توجه توسط آبراهه‌ها و یا رودخانه‌های یک منطقه باشد با توجه به اینکه ایستگاه سینوپتیک ماهیدشت در داخل حوضه آبریز می‌باشد مقادیر بارش‌های حداکثر ۲۴ ساعته ایستگاه مورد بررسی برای دوره بازگشت‌های ۲ تا ۱۰۰ سال و با استفاده از توزیع‌های رایج به

جدول ۲: مقادیر حداکثر بارندگی ۲۴ ساعته ایستگاه ماهیدشت با دوره آماری (۱۳۹۸-۱۳۷۳) برای دوره بازگشت‌های مختلف براساس توزیع گامبل (توزیع برتر)

دوره بازگشت دبی	۱۰۰	۵۰	۲۵	۱۰	۵	۳	۲
۶۹/۴	۶۳/۵	۵۷/۶	۴۹/۵	۴۳/۲	۳۸/۱	۳۳/۶	

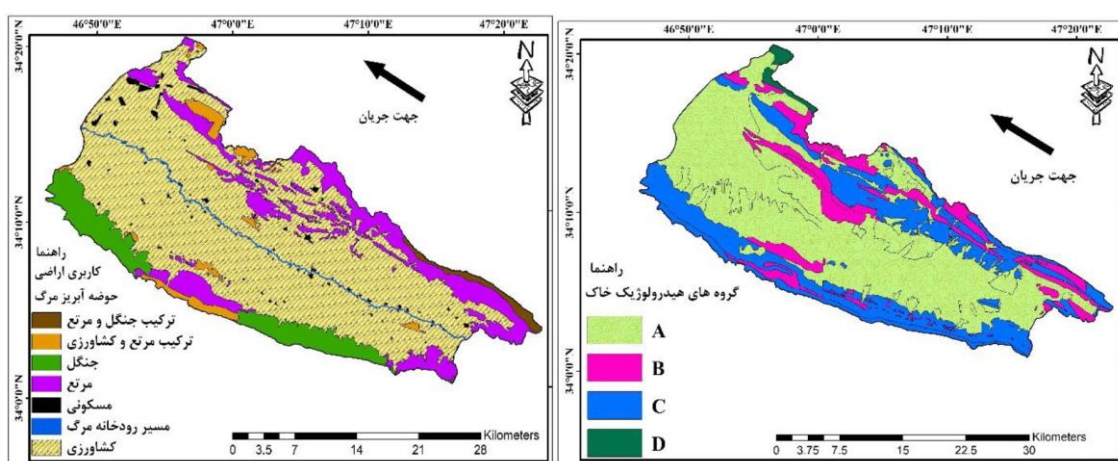


شکل ۳: مقادیر حداکثر بارش ۲۴ ساعته ایستگاه ماهیدشت براساس احتمال وقوع آن توسط معیار گامبل (توزیع برتر)

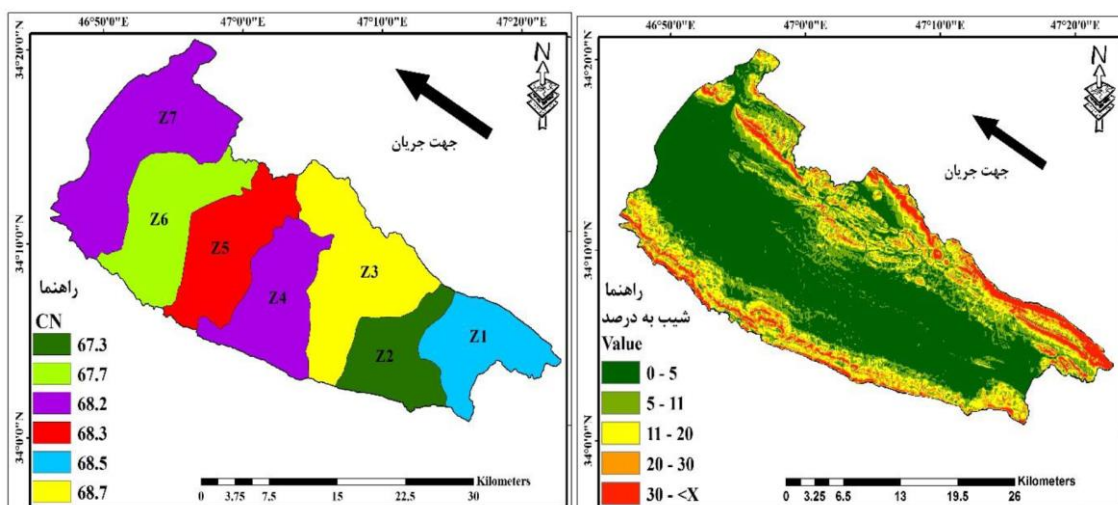
با توجه به اینکه حوضه آبریز رودخانه مِرگ دارای ۷ زیرحوضه می‌باشد، لذا جهت کالیبره کردن مدل (برآورد دبی سیلابی هر یک از زیرحوضه‌ها) از نتایج حداکثر دبی سیلابی ایستگاه آبسنجی ماهیدشت که در انتهای حوضه آبریز مورد مطالعه قرار دارد استفاده گردیده است. جدول ۳ نتایج حداکثر دبی سیلابی با دوره بازگشت را نشان می‌دهد.

جدول ۳: نتایج حداکثر دبی سیلابی با دوره بازگشت‌های مختلف برای ایستگاه آبسنجی ماهیدشت جهت اعتبار سنجی (دوره آماری ۱۳۹۷-۱۳۵۴)

دوره بازگشت (سال)						توزیع آماری	نوع داده	نام ایستگاه
۱۰۰	۵۰	۲۵	۱۰	۵	۲	برتو		
۱۳۶	۱۰۷	۸۱/۴	۵۳/۷	۳۶/۴	۱۷/۳	لوگ نرمال	حداکثر دبی لحظه‌ای	ماهیدشت

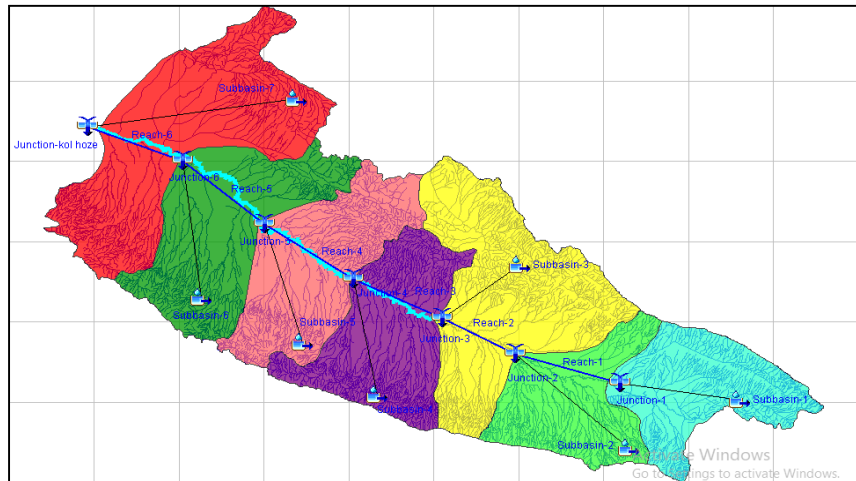


شکل ۵: نقشه کاربری اراضی حوضه آبریز مِرگ



شکل ۷: تعیین مقدار (CN) با احتساب میانگین‌گیری وزنی

شکل ۶: نقشه شیب حوضه آبریز مِرگ



شکل ۸: شماتیک تعیین حداکثر دبی عبوری رودخانه مرگ براساس حداکثر دبی خروجی هر یک از زیرحوضه‌ها

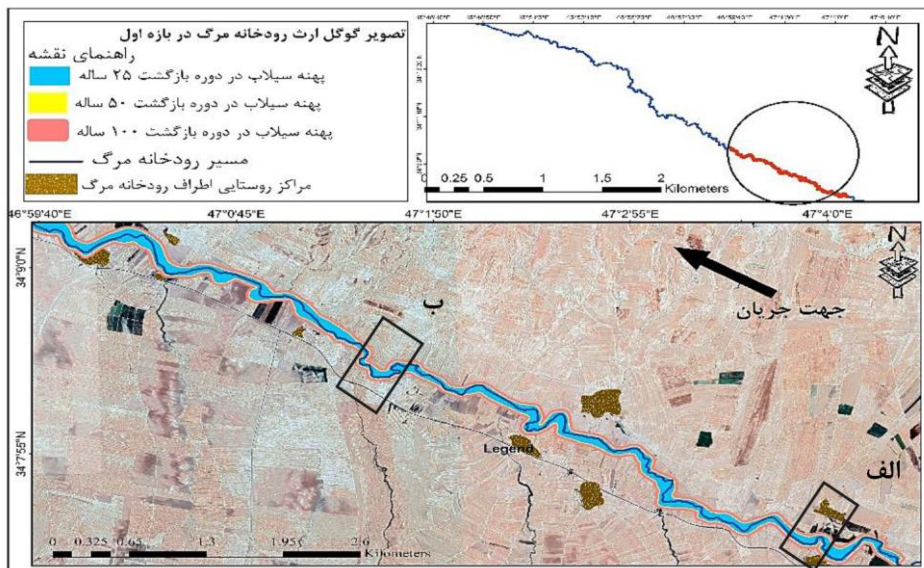
جدول ۴: نتایج تعیین مقادیر سیلان (مترمکعب بر ثانیه) در دوره بازگشت‌های مختلف برای مسیر رودخانه مرگ جهت استفاده در مدل هیدرولیکی HEC-RAS

دورة بازگشت	طول رودخانه (کیلومتر)	خروجی حوضه						
		از ابتدای بازه تا کیلومتر	از کیلومتر ۸/۷ تا کیلومتر ۲۰/۶	از کیلومتر ۲۰/۶ تا کیلومتر ۳۲/۵	از ابتدای بازه تا کیلومتر	از کیلومتر ۸/۷ تا کیلومتر ۲۰/۶	از کیلومتر ۲۰/۶ تا کیلومتر ۳۲/۵	از ابتدای بازه تا کیلومتر
۹۲/۸	۷۴/۷	۵۷	۳۷	۲۶/۷	۱۷/۲	Junction4	۸/۷	از ابتدای بازه تا کیلومتر
۱۰۸/۳	۸۷/۱	۶۶/۴	۴۲/۸	۳۰/۶	۱۹/۸	Junction5	۲۰/۶	از کیلومتر ۸/۷ تا کیلومتر ۲۰/۶
۱۲۲/۸	۹۸/۹	۷۵/۳	۴۸/۳	۳۴/۵	۲۲/۲	Junction6	۳۲/۵	از کیلومتر ۲۰/۶ تا کیلومتر ۳۲/۵
۱۴۱/۷	۱۱۴/۲	۸۷	۵۵/۳	۳۹	۲۵/۲	Junction7	۳۲/۵	از کیلومتر ۳۲/۵ تا انتهای بازه

کاربری اطراف رودخانه کشاورزی است و به این ترتیب با تعیین حد بستر، نحوه عبور سیل مبنای منطقه مشخص می‌گردد. با اجرای HEC_RAS در بازه اول نتایج نشان می‌دهد، که به طور متوسط پهنه سیلان در دوره بازگشت ۲۵ ساله در بازه اول ۲۰ تا ۱۱۰ متر، در دوره بازگشت ۵۰ سال ۱۱۲ متر و در دوره بازگشت ۱۰۰ سال ۱۱۴ متر از حد ساحل سمت چپ و راست گسترش پیدا کرده است تمامی پیچ‌های مثاندر رودخانه مرگ در این بخش تحت گسترش سیلان قرار گرفته است و کاربری در داخل تمام پیچ‌های ساحل رودخانه مرگ کشاورزی بوده است که این امر می‌تواند خسارت‌های زیادی را به ساکنان حاشیه رودخانه وارد کند. (شکل ۹)، (اشکال الف و ب) و (جدول ۷).

نتایج
رودخانه مرگ در بازه مورد مطالعه منطبق بر تراست ماهیدشت جریان پیدا کرده است با توجه به تفاوت شیب و میزان ضریب خمیدگی رودخانه مرگ به ۴ بازه تقسیم‌بندی شده است. نتایج حاصل از اجرای مدل به شرح ذیل می‌باشد:

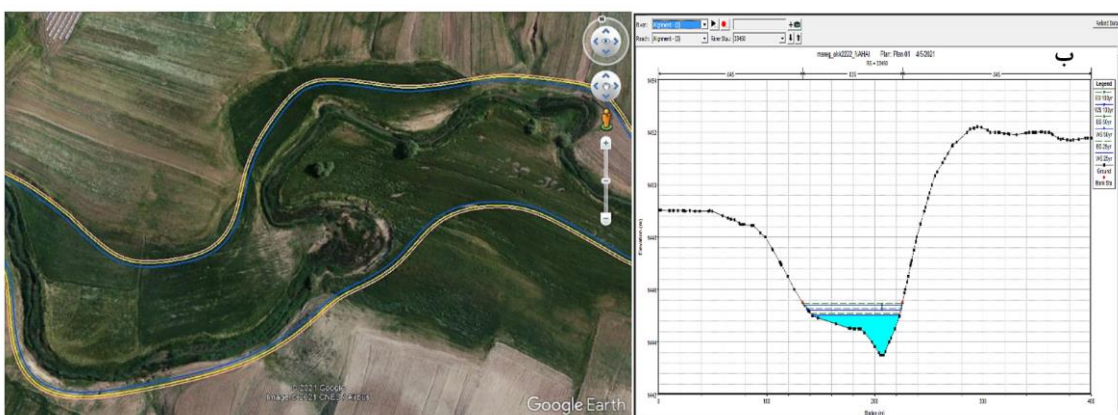
بازه اول: رودخانه مرگ در بخش اول به طول ۱۹/۱۲ کیلومتر بوده است میزان شیب بستر مقاطع در این بازه به طور متوسط از (۰/۵) درصد متغیر می‌باشد ضریب خمیدگی ۱/۳۹ محاسبه شده است و با توجه به تقسیم‌بندی بریلی و فریس (۲۰۰۵) جزء الگوی پیچان‌رودی می‌باشد (حسین زاده و همکاران، ۱۳۹۴). جنس بستر رودخانه رس و



شکل ۹: نقشه پهننه‌بندی سیلاب رودخانه میرگ در دوره بازگشت ۲۵ و ۵۰ و ۱۰۰ ساله



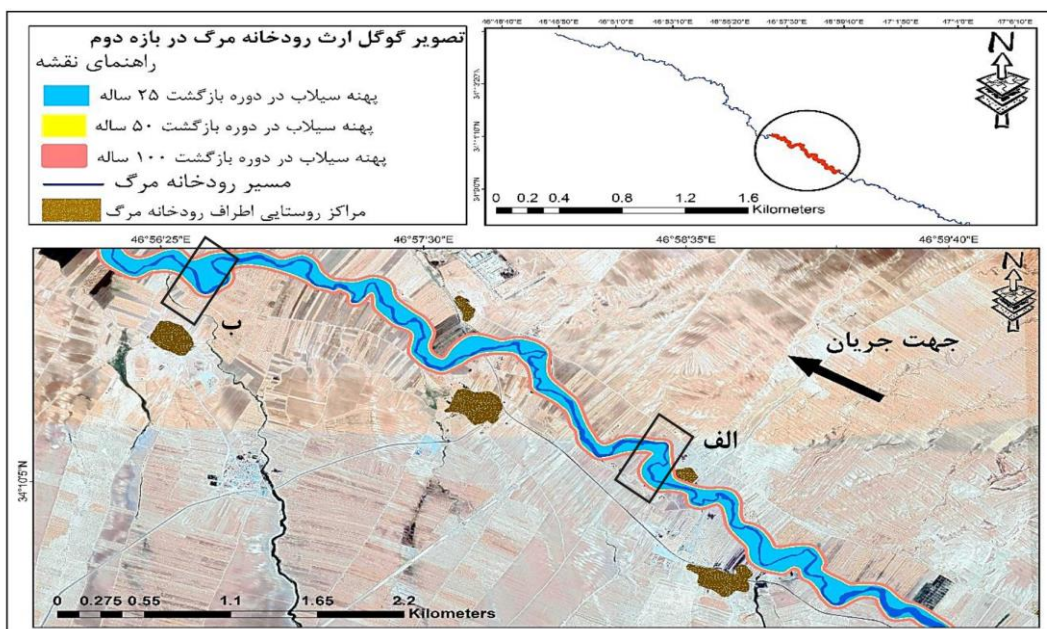
الف: مقطع عرضی رودخانه میرگ در دوره بازگشت ۲۵، ۵۰ و ۱۰۰ سال و پهننه سیلاب در دوره بازگشت ۲۵، ۵۰ و ۱۰۰ ، تصاویر گوگل ارث



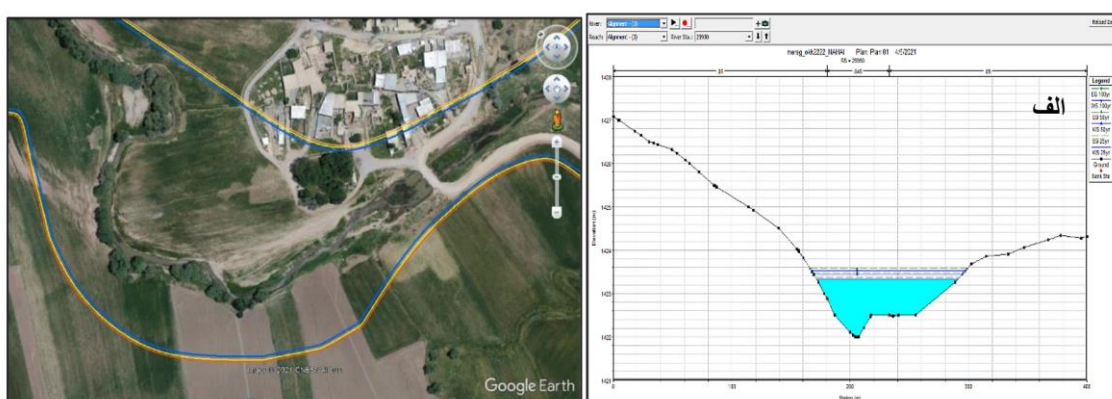
ب: مقطع عرضی رودخانه میرگ در دوره بازگشت ۲۵، ۵۰ و ۱۰۰ سال و پهننه سیلاب در دوره بازگشت ۲۵، ۵۰ و ۱۰۰ ، تصاویر گوگل ارث

می‌آورد در این بازه پهنه گسترش سیلاب در دروغ بازگشت‌های مختلف به طور متوسط ۲۰۵ تا ۲۰ متر از حد مقاطع گسترش پیدا کرده است در بازه دوم پهنه سیلاب نسبت به بازه قبل گسترش بیشتری داشته است در این بخش نیز تمام پیچ‌های مئاندر رودخانه مرگ تحت تاثیر سیلاب ۲۵، ۵۰ و ۱۰۰ ساله قرار گرفته است. (شکل ۱۰)، (شکل الف و ب) و (جدول ۷).

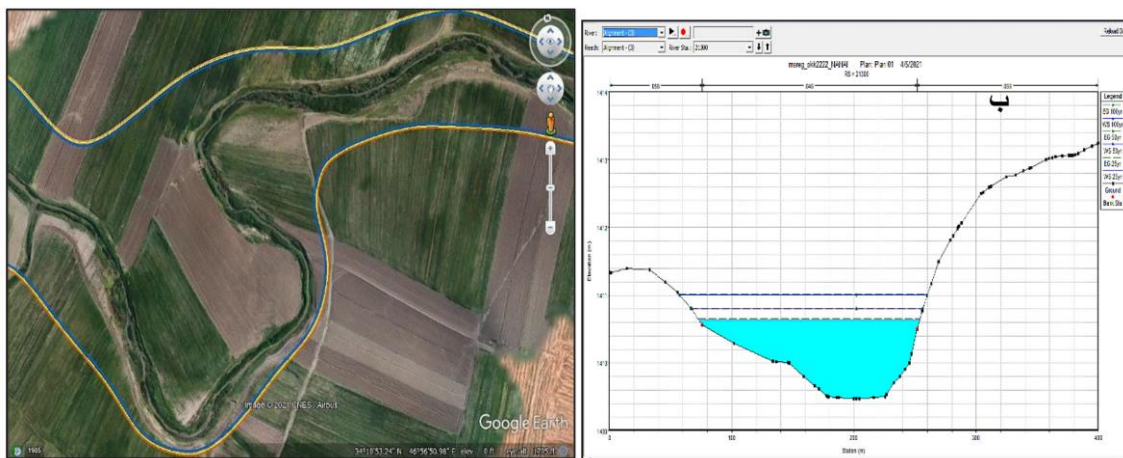
بازه دوم: در این بازه طول رودخانه ۸ کیلومتر، و میانگین شیب بستر کل مقاطع ۰/۵ ۱/۶۴ می‌باشد در حالت کلی با ضریب خمیدگی ۰/۵ می‌باشد در احوال مئاندری بوده است با توجه به بررسی‌های میدانی جنس رسوبات بستر و کناره رس و کاربری دو طرف کanal در این بازه کشاورزی می‌باشد. تعیین پهنه سیلاب در دوره بازگشت‌های مختلف امکان حفاظت از بستر رودخانه در مقابل انسداد و احداث هرگونه تاسیسات غیر مجاز در آن فراهم



شکل ۱۰: نقشه پهنه بندي سیلاب رودخانه مرگ در دوره بازگشت ۲۵ و ۵۰ و ۱۰۰ ساله



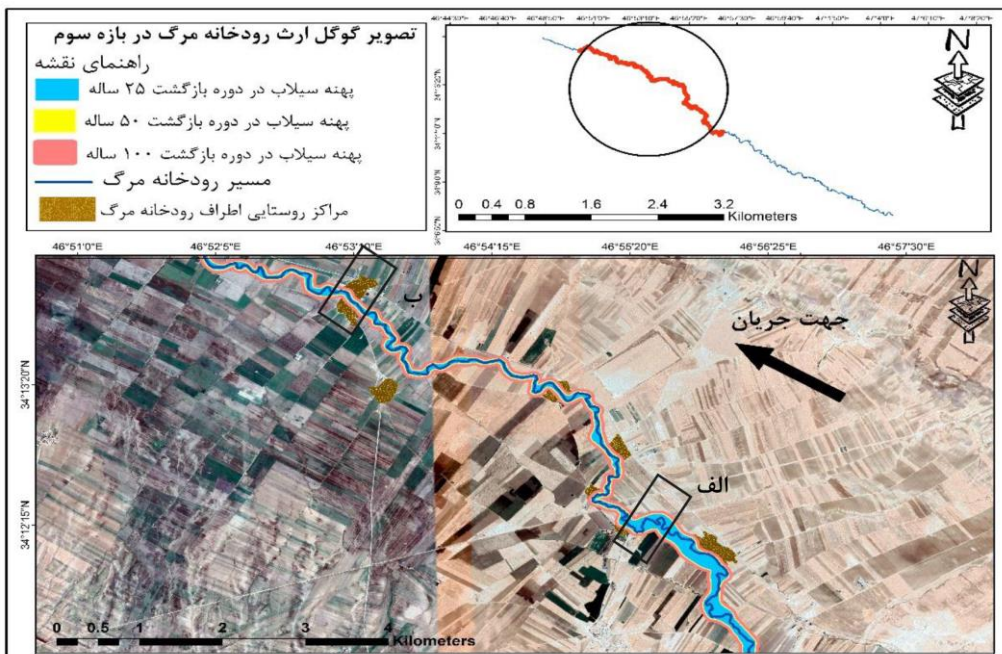
الف: مقطع عرضی رودخانه مرگ در دوره بازگشت ۲۵، ۵۰ و ۱۰۰ سال و پهنه سیلاب در دوره بازگشت ۲۵، ۵۰ و ۱۰۰ سال، تصاویر گوگل ارث



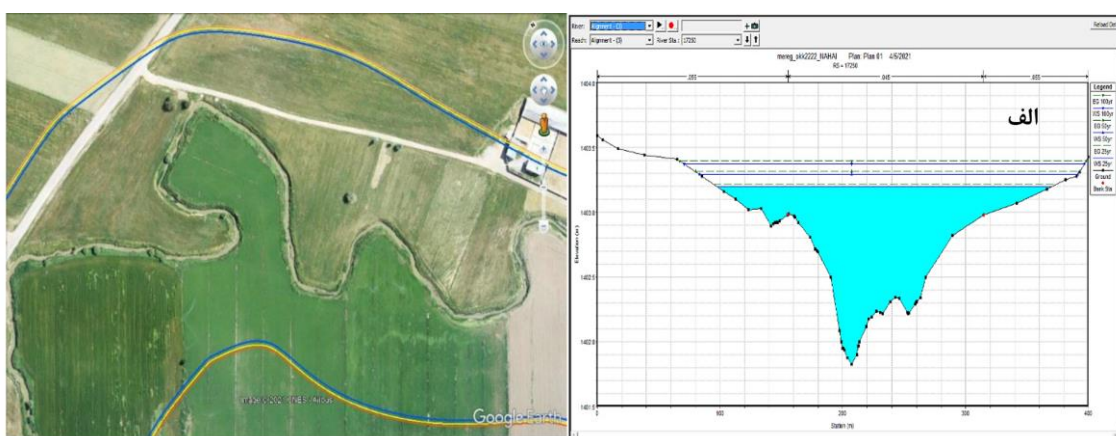
ب: مقطع عرضی رودخانه مِرگ در دوره بازگشت ۲۵، ۵۰ و ۱۰۰ سال و پهنه سیلاب در دوره بازگشت ۲۵، ۵۰ و ۱۰۰ سال، تصاویر گوگل ارث

شیب نسبت به بازه‌های قبل، سیلاب در دوره بازگشت‌های مختلف به طور متوسط ۱۰ تا ۲۶۰ متر از حد مقاطع گسترش پیدا کرده است و حداکثر این گسترش به سمت ساحل چپ تمایل داشته است در این بازه اکثر مراکز روستایی حاشیه رودخانه مِرگ در معرض مخاطره سیلاب قرار گرفته‌اند (شکل ۱۱) و (شکل الف و ب).

باشه سوم: این بازه از رودخانه مِرگ ۲۰/۶ کیلومتر است با توجه به میانگین شیب بستر، $0/۳$ درصد بوده است که در این بازه ضریب خمیدگی $1/۷$ محاسبه شد و با توجه به تقسیم‌بندی (بریلی و فریس ۲۰۰۵) جز رودخانه‌های پیچان‌رودی بوده است و کاربری دو طرف ساحل کشاورزی است. در مقاطع آخر این بخش نسبت عرض به عمق کمتر از سایر مقاطع قبلی بوده است و با توجه به کاهش



شکل ۱۱: نقشه پهنه‌بندی سیلاب رودخانه مِرگ در دوره بازگشت ۲۵ و ۵۰ و ۱۰۰ ساله



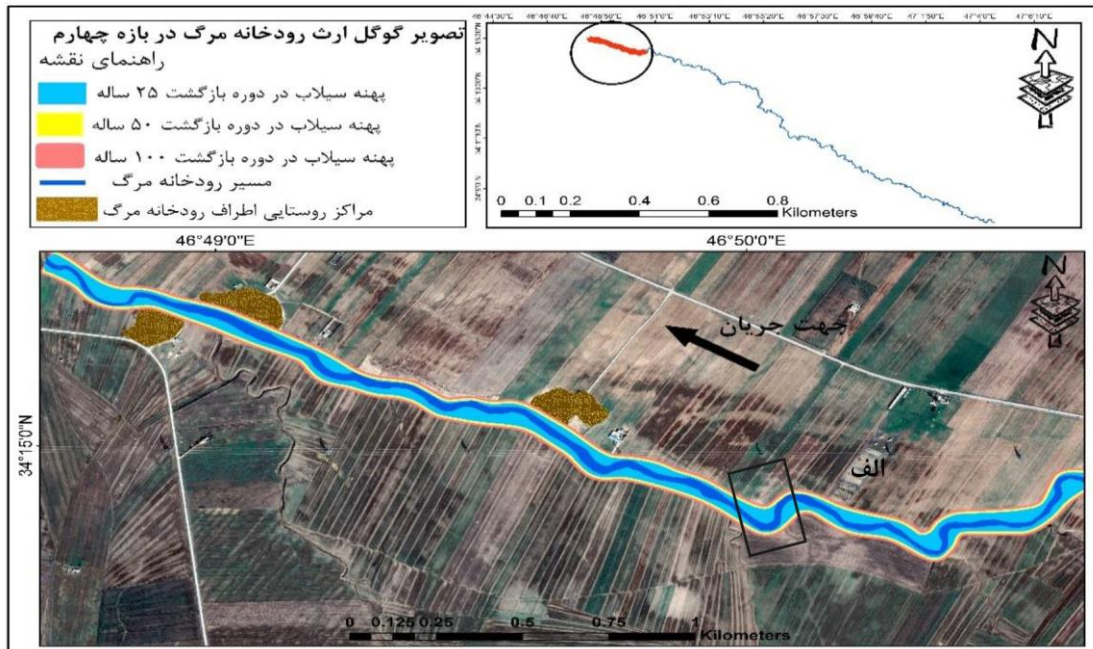
الف: مقطع عرضی رودخانه مرگ در دوره بازگشت ۲۵، ۵۰ و ۱۰۰ سال و پهنه سیلاب در دوره بازگشت ۲۵، ۵۰ و ۱۰۰، تصاویر حاصل از پهیاد



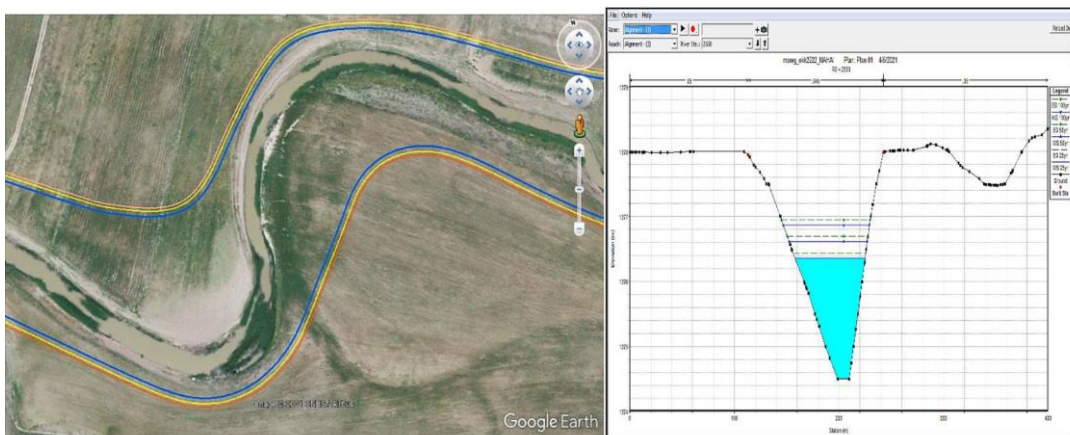
ب: مقطع عرضی رودخانه مرگ در دوره بازگشت ۲۵، ۵۰ و ۱۰۰ سال و پهنه سیلاب در دوره بازگشت ۲۵، ۵۰ و ۱۰۰، تصاویر گوکل راث

سایر بازه‌ها کمتر است و علاوه بر آن در اثر فعالیت‌های انسانی و لایروبی کanal میزان عمق کanal نسبت به سایر بازه‌ها بیشتر بوده است و با توجه به افزایش میزان دبی، پهنه سیلاب نسبت به بازه‌های قبل گسترش کمتری داشته است. (شکل ۱۲) و (شکل الف).

باشه چهارم: در این بخش رودخانه مرگ به طول $\frac{3}{2}$ کیلومتر می‌باشد دارای ضریب خمیدگی $\frac{1}{2}$ بوده است که در گروه الگوی سینوسی قرار می‌گیرد که میزان شبیه متوسط بستر رودخانه مرگ در این بخش $\frac{1}{3}$ درصد محاسبه شد با توجه به بازدیدهای میدانی مواد تشکیل دهنده بستر و کناره رودخانه، رس می‌باشد در این بازه حد گسترش سیلاب به طور متوسط ۱۰ تا ۶۵ متر بوده است که نسبت به



شکل ۱۲: نقشه پهنه‌بندی سیلاب رودخانه مِرگ در دوره بازگشت ۲۵ و ۵۰ و ۱۰۰ ساله



الف: مقطع عرضی رودخانه مِرگ در دوره بازگشت ۲۵، ۵۰ و ۱۰۰ سال و پهنه سیلاب در دوره بازگشت ۲۵، ۵۰ و ۱۰۰ سال، تصاویر گوکل ارث

استفاده از HEC-RAS نشان داد که پهنه سیلاب در بازه‌ها و مقاطع مختلف در طول رودخانه مِرگ یکسان نیست و پهنه سیلاب از بالا دست به سمت پایین دست از یک دوره بازگشت یکسان متغیر بوده است. به عنوان مثال در دوره بازگشت ۱۰۰ ساله در بازه‌های مختلف پهنه گسترش سیلاب متفاوت بوده است در بازه چهارم با توجه به افزایش میزان دبی پهنه سیلاب کمتر از سایر بازه‌ها بوده است. بررسی مورفومتری کanal و دشت سیلابی مجاور نشان داده

در ادامه، با توجه شیب کم سواحل رودخانه مِرگ، مراکز سکونتگاهی و فعالیت‌های کشاورزی تا ساحل رودخانه بدون توجه به شرایط هیدرولیک آن مورد تعرض کشاورزان و مساکن روستای قرار گرفته است که در صورت وقوع سیلاب با دوره بازگشت ۲۵ و ۵۰ و ۱۰۰ سال خسارت‌های را به دنبال خواهد داشت (جدول ۶). مساحت پهنه سیلاب و تعداد روستاهای در معرض احتمال خطر سیلاب، در دوره بازگشت‌های مختلف را بیان می‌کند. مدلسازی با

همچنین در بازه‌هایی که شب دشت سیلابی کمتر بوده است پنهان سیلاب گستردگر شده است.

است که در بازه چهارم مساحت مقطع عرضی و عمق کanal بیشتر از سایر بازه‌ها است (جدول ۷).

جدول ۶: مساحت پهنه سیلاب در دره بازگشت‌های مختلف رودخانه مرگ

دوره بازگشت	مساحت کیلومتر مربع	تعداد روستاهای آسیب دیده
سال ۲۵	۳/۲	۶
سال ۵۰	۳/۴	۱۳
سال ۱۰۰	۳/۵	۱۴

جدول ۷: مقایسه میانگین مساحت مقطع عرضی و عرض مقاطع در بازه‌های مختلف

نام بازه	متوسط مساحت	مقطع عرضی	متوسط	متوسط	عمق آب (متر) در دوره بازگشت ۱۰۰ سال	عمق آب (متر) در دوره بازگشت ۵۰ سال	عمق آب (متر) در دوره بازگشت ۲۵ سال	عمق مقاطعه	شیب	(متر)
بازه اول	۲۶/۶۷	۳۴/۸۱	۳۴/۵۹	۳۴/۵۹	۰/۱۵	۰/۱۵	۰/۱۷۴	۰/۴۴	۰/۵	۳/۹۳
بازه دوم					۰/۴۹	۰/۷	۰/۳۹	۱/۹۴	۰/۵	۲/۱
بازه سوم					۰/۷	۰/۳	۰/۳۹	۱/۹۴	۰/۵	۳/۶۸
بازه چهارم					۰/۱۵	۰/۳	۰/۱۷۴	۰/۴۴	۰/۵	۲/۱

نتیجہ گیری

مدل سازی مخاطره سیلاب ابزاری اساسی در تدوین
سیاست‌های مدیریت سیل است. مطالعه حاضر
مؤید قابلیت مدل سازی سامانه هیدرولوژیکی در
پهنه‌بندی سیل بوده و HEC-RAS نرم‌افزار
قدرتمندی در پیش‌بینی و هشدار است. نتایج
شبیه‌سازی نقش بسزایی در تصمیم‌گیری ملی در
زمینه پیشگیری و کنترل سیل دارد. در این پژوهش
با استفاده از مدل عددی HEC-RAS به پهنه‌بندی
مخاطره سیلاب رودخانه مرگ ماهیدشت پرداخته
شده است حوضه رودخانه مرگ به دلیل واقع شدن
در زون‌های زمین‌شناسی زاگرس چین‌خورده و به
دبیال آن رخنمون سازندهای کربناته باعث شکل-
گیری ویژگی‌های ژئومورفولوژیکی از جمله تشکیل
آبخوان‌های کارستی در حوضه مورد مطالعه و
چشممه‌های کارستی می‌باشد، که جریان خروجی از
این چشممه‌ها قسمت زیادی از جریان پایه رودخانه
مرگ را تامین می‌کند. و غالب مساحت آن از

زیرحوضه‌هایی که فاقد ایستگاه هیدرومتری هستند و همچنین مدل یک بعدی HEC-RAS در پهنه‌بندی سیلاب حوضه‌ها از دقت بسیار خوبی برخوردار است و این مدل قادر به ترسیم پهنه‌های سیلاب با توجه به مورفولوژی رودخانه می‌باشد. بنابراین می‌توان از مدل یک بعدی HEC-RAS برای رودخانه‌هایی که دارای اطلاعات توپوگرافی دقیق هستند استفاده نمود و نتایج قابل اعتمادی هم به دست آورد و در نهایت از نقشه‌های پهنه‌بندی سیلاب به دست آمده می‌توان به عنوان یکی از اطلاعات پایه و مهم در برنامه‌ریزی‌های عمرانی استفاده نمود.

سیلاب قرار گرفته‌اند و در بازه چهارم با توجه به اینکه میزان دبی بیشتر از سایر بازه‌ها بوده است اما به دلیل افزایش عمق نسبت به سایر بازه‌ها پهنه کمتری را نشان می‌دهد اگر محدوده پهنه سیلاب در دوره بازگشت‌های مختلف را جز منطقه آسیب-پذیر بدانیم اغلب مراکز روستایی در معرض مخاطره سیلاب قرار گرفته‌اند و می‌بایست در تمامی طول رودخانه مِرگ توسعه آتی مناطق روستایی نیاز به برنامه‌ریزی بیشتری دارد. این مطالعه با نتایج سایر محققان از جمله شفیعی مطلق (۱۳۹۹)، روستایی و همکاران (۱۳۹۹) و همچنین مهرورز و همکاران (۱۳۹۹) انطباق دارد که بیان می‌کند مدل‌های عددی HEC-HMS در برآورد دبی در بسیاری از

پانوشت

1-Multi-Criteria Decision Approach (MCDA)

2-Scenariobased inundation analysis

3-Navier-Stoke

4-Bank Lines

5-basin model

منابع

- حسین زاده، م.ح. و اسماعیلی، ر.، ۱۳۹۴. ژئومورفولوژی رودخانه‌ای، مفاهیم اشکال و فرایندها، چاپ اول، مرکز چاپ و انتشارات دانشگاه شهید بهشتی، ۳۵۰ ص.
- روستایی، ش.، ایاسه، ف. و رضایی مقدم، م.ح.، ۱۳۹۹. شبیه‌سازی دو بعدی سیلاب رودخانه لیقوان با تأکید بر دشت سیلابی، پژوهش‌های ژئومورفولوژی کمی، سال ۹، شماره ۱، ص ۲۸-۴۱.
- شفیعی مطلق، خ. و عبادتی، ن.، ۱۳۹۹. پهنه‌بندی سیلاب و شبیه‌سازی رفتار هیدرولیک رودخانه با استفاده از نرمافزار HEC-RAS (مطالعه موردي: مرکز مطالعات و برنامه‌ریزی شهر کرمانشاه، ۱۳۹۸. گزارش جامع خسارات سیل فروردین ۹۸، انتشارات استانداری کرمانشاه.
- علیزاده، ا.، ۱۳۸۸. اصول هیدرولوژی کاربردی، چاپ ۲۷، انتشارات دانشگاه امام رضا(ع)، ص ۸۷۰.
- مهرورز، ا.، مددی، ع.، اسفندیاری درآباد، ف. و رحیمی، م.، ۱۳۹۹. شبیه‌سازی سیلاب‌های رودخانه دره آئورت با استفاده از مدل هیدرولیکی HEC-RAS در محیط GIS (محدوده مورد مطالعه: از روستای شورستان تا تلاقی رودخانه ارس)، پژوهش‌های ژئومورفولوژی کمی، سال ۸، شماره ۴، ۱۳۹۱-۱۴۶.

- Abderrezzak, K.E.K., Paquier, A. and Mignot, E., 2009. Modelling flash flood propagation in urban areas using a two-dimensional numerical model: Natural Hazards, v. 50, p. 433-460.
- Black, A.R. and Burns, J.C., 2002. Reassessing the flood risk in Scotland: Science of The Total Environment, v. 294, p. 169-184.
- Brierley, G.L. and Fryirs, K., 2005. geomorphology and river management application of the river style framework, Blackwell Publishing: Malden, MA, 398 p.
- Bates, P.D. and De Roo, A.P.J., 2000. A simple raster-based model for flood inundation simulation: Journal of Hydrology, v. 236, p. 54-77.
- COON, W.F., 1996. Estimates of Roughness Coefficients for Selected Natural Stream Channels with Vegetated Banks in New York. U.S. Department of the Interior Bruce Babbitt, Secretary, 145 p.
- European Commission (EC), 2007. Directive 2007/60/EC of the European Parliament and of the Council of 23 October, on the assessment and management of flood risks: Official Journal of the European Union, v. 288, p. 27-34.
- Ezzine, A., Saidi, S., Hermassi, T., Kammessi, I., Darragi, F. and Rajhi, H., 2020. Flood mapping using hydraulic modeling and Sentinel-1 image: Case study of Medjerda Basin, northern Tunisia: The Egyptian Journal of Remote Sensing and Space Sciences, v. 23, p. 303-310.
- Geravand, F., Mossa Hosseini, S. and Ataie-Ashtiani, B., 2020. Influence of river cross-section data resolution on flood inundation modeling: Case study of Kashkan river basin in western Iran: Journal of Hydrology, v. 584, p. 1-15.
- Jahangir, M.H., Mousavi Reineh, S.M. and Abolghasemi, M., 2019. Spatial predication of flood zonation mapping in Kan River Basin, Iran, using artificial neural network algorithm: Weather and Climate Extremes, v. 25, p. 1-11.
- Lyu, H.M., Shen, S.L. and Zhou, A.Y., 2019. Perspectives for flood risk assessment and management for mega-city metro system: Tunnelling and Underground Space Technology, v. 76, p. 31-46.
- Mishra, K. and Sinha, R., 2020, Flood risk assessment in the Kosi megafan using multi-criteria decision analysis: A hydro-geomorphic approach: Geomorphology, v. 350, p.1-69.
- Mejía-Navarro, M., Wohl, E.E. and Oaks, S.D., 1994. Geological hazards, vulnerability, and risk assessment using GIS: model for Glenwood Springs Colorado: Geomorphology and Natural Hazards, v. 10(1), p. 331-354.
- Nkwunonwo, U.C., 2006. Meeting the Challenges of Flood Risk Assessment in Developing countries, With Particular Reference to Flood Risk Management in Lagos, Nigeria, University of Portsmouth, Portsmouth, United Kingdom, (Unpublished doctoral thesis).
- Parhi, P.K., 2018. Flood Management in Mahanadi Basin using HEC-RAS and Gumbel's Extreme Value Distribution: Journal of The Institution of Engineers (India): Series A, v. 99, p. 751-755.
- Petit-Boixa, A., Sevigné-Itoizb, E., Rojas-Gutierrezc, L.A., Barbassad, A.P., Josae, A., Rieradevalla, J. and Gabarrell, X., 2017. Floods and consequential life cycle assessment: integrating flood damage into the environmental assessment of storm water Best Management Practices: Journal of Cleaner Production, v. 162, p. 601-608.
- Shokri, A., Sabzevari, S. and Hashemi, S.A., 2020. Impacts of flood on health of Iranian population: Infectious diseases with an emphasis on parasitic infections: Parasite Epidemiology and Control, v. 9, p. 1-11.

- Schumann, A.H., Funke, R. and Schultz, G.A., 2000. Application of a geographic information system for conceptual rainfall-runoff modeling: Journal of Hydrology, v. 240 (1), p. 45-61.
- Voogd, J.H., 1983. Multicriteria Evaluation for Urban and Regional Planning: Pion, London, 388 p.
- Zelenakova, M., Fijko, R., Labant, S., Weiss, E., Markovic, G. and Weiss, R., 2019. Flood risk modelling of the Slatvinec stream in Kru_zlov village, Slovakia: Journal of Cleaner Production, v. 212, p. 109-118.